高次振動法によるケーブル張力算定精度の検証

(株)神戸製鋼所 正会員 宇津野秀夫 (株)神戸製鋼所 正会員 山極伊知郎 (株)神戸製鋼所 正会員 杉井 謙一 (株)コベルコ科研 遠藤浩司

1.まえがき

著者らは既報 ^{1,2} で、複数の固有振動数を利用したケーブル張力と曲げ剛性の一括算定方法を提案している。本報では、同方法の理論的な算定精度を検討し、引張り試験機を用いた実験で算定精度を検証する。

2. 高次振動法によるケーブル張力と曲げ剛性の算定理論

両端固定ケーブルの厳密な振動数方程式に対し、橋梁の長大性を利用して $\exp(-\beta L) = 0$ と仮定すると、固有振動数 f_i は、曲げ剛性 EI と張力 T とを係数とするモード次数 i の多項式で表現される。

$$f_i^2 \approx \frac{\boldsymbol{p}^2 E I}{4 n L^4} \left(i + \frac{\boldsymbol{f}}{\boldsymbol{p}} \right)^4 + \frac{T}{4 n L^2} \left(i + \frac{\boldsymbol{f}}{\boldsymbol{p}} \right)^2 = \frac{\boldsymbol{p}^2 E I}{4 n L^4} \left[\left(i + \frac{\boldsymbol{f}}{\boldsymbol{p}} \right)^4 + \frac{\boldsymbol{x}^2}{\boldsymbol{p}^2} \left(i + \frac{\boldsymbol{f}}{\boldsymbol{p}} \right)^2 \right]$$
(1)

ここで
$$L$$
 はケーブル長、 μ は線密度、 $\xi = L\sqrt{T/EI}$ 、 $\tan \mathbf{f} = \frac{2\mathbf{w}}{T}\sqrt{\mathbf{n}\mathbf{E}I}$ 、 $\mathbf{b} = \sqrt{\left(\frac{T}{2EI}\right)^2 + \frac{\mathbf{m}\mathbf{w}^2}{EI}} + \frac{T}{2EI}$ である。

複数の固有振動数に対し、最小 2 乗法を適用して多項式(1)の係数である T と EI を算定する。振動数測定値 \bar{f}_i 、最確値 f_i 、残差 $v_i=\bar{f}_i-f_i$ とすると、残差の 2 乗和 $\sum {v_i}^2$ は次式の条件で最小となる。

$$\left[\sum_{i} X_{i}^{8} / \bar{f}_{i}^{2} - \sum_{i} X_{i}^{6} / \bar{f}_{i}^{2} \right] G_{1} = \left(\sum_{i} X_{i}^{4} / \bar{f}_{i}^{2} \right) = \left(\sum_{i} X_{i}^{4} \right) = \left(\sum_{i} X_{i}^{4} \right) = \left(\sum_{i} X_{i}^{4} \right)$$
(2)

ెడా. $f_i^2 = G_1 X_i^4 + G_2 X_i^4$, $G_1 = \pi^2 EI/4\mu L^4$, $G_2 = T/4\mu L^2$, $X_i = (i + \phi_i/\pi)$ ా్రాంత్రం

3. 算定精度の検討

算定精度に影響を及ぼす要因には、固有振動数の近似式(1)の採用、最小 2 乗法における誤差、境界条件の違い、物理量の読み取り誤差がある。以下にそれぞれの影響を理論的に検討する。

3 . 1 固有振動数の近似式 橋梁ケーブルの長大性から、近似式(1)では $\exp(-\beta L)=0$ と仮定した。ここでは、より厳しい条件 $\exp(-2\beta L)=0$ と仮定する。このとき固有振動数方程式は次式に変形される。

$$\sin(\mathbf{a}\mathbf{L} - \mathbf{f}) = -\exp(-\mathbf{h}\mathbf{L}) / \sqrt{1 + \frac{T^2}{4\mathbf{m}\mathbf{v}^2 EI}} = -\mathbf{d} \qquad \forall \alpha = \sqrt{\sqrt{\left(\frac{T}{2EI}\right)^2 + \frac{\mu\omega^2}{EI}} - \frac{T}{2EI}}$$

微小量 に関して、以下の不等式が成立し、上限値 δ がモード次数iと で決定される。

$$0 < \delta < \exp(-\beta L) \approx \exp\left\{-\sqrt{\xi^2 + (i\pi + \phi)^2}\right\} < \exp\left\{-\sqrt{\xi^2 + (i\pi)^2}\right\} = \delta_1$$
 (3)

表 1 に δ , の試算例を示す。この δ , を用いると、固有振動数は以下の式で計算される。

$$\alpha L - \phi = i\pi - (-1)^{i} \delta_{1} \quad \Rightarrow \quad f_{i}^{2} = \frac{\pi^{2} EI}{4\mu L^{4}} \left(i + \frac{\phi}{\pi} - (-1)^{i} \frac{\delta_{1}}{\pi} \right)^{4} + \frac{T}{4\mu L^{2}} \left(i + \frac{\phi}{\pi} - (-1)^{i} \frac{\delta_{1}}{\pi} \right)^{2}$$
(4)

式(1)の固有振動数 f と両近似式の差 Δf に対し、曲げもしくは引張りのどちらかが支配的と考えて $\Delta f/f$ を求める。このとき、 $\Delta f/f$ には上限値 $2\,\delta_1/\pi\,i$ が存在する。

$$\Delta f/f < 2\delta_1/\pi i^2$$
 or $\delta_1/\pi i < 2\delta_1/\pi i$

キーワード ケーブル、振動、張力、曲げ剛性、診断

連絡先 〒651-2271 神戸市西区高塚台 1 丁目 5-5 Tel.078-992-5639 Fax.078-993-2056

表 2 に上限値 $2\delta_1/\pi i$ の試算例を示す。2 次以上の固有振動数では、式(1)は充分に高い精度と確認できる。

3.2 最小2乗法における誤差 固有振動数の読み取り誤差が最小2乗法に及ぼす影響を検討する。 真値を*、誤差を で代表し、見通しを得るために関係式を線形化する。

$$\bar{f}_{i} = f_{i}^{*} + \frac{\Delta f_{i}}{2}, G_{1} = G_{1}^{*} + \Delta G_{1}, G_{2} = G_{2}^{*} + \Delta G_{2}, \quad \frac{1}{\bar{f}_{i}^{2}} = \frac{1}{(f_{i}^{*})^{2} + f_{i}^{*} \Delta f_{i} + (\Delta f_{i})^{2} / 4} \approx \frac{1}{(f_{i}^{*})^{2}} \left(1 - \frac{\Delta f_{i}}{f_{i}^{*}}\right)$$

式(2)に上記関係式を代入し、各モード次数で $\Delta f_i/f_i^* = +\varepsilon$ と仮定すると、誤差は次式で推定される。

$$\Delta G_1/G_1^* = -\mathbf{e} + 2\mathbf{e} = \mathbf{e}, \quad \Delta G_2/G_2^* = -\mathbf{e} + 2\mathbf{e} = \mathbf{e}$$

周波数の読み取り誤差は、真値に対して±どちらの符号も取りえるが、最大2 程度の誤差と考えられる。

3.3 境界条件の影響 橋梁ケーブルは、通常固定境界とみなされる。この場合、端部から距離 $x=L_1,L_2$ 離れた 2 点の振動振幅の比 $W(L_1)/W(L_2)$ は、次式で計算できる。

$$H(\omega) = \frac{W(L_1)}{W(L_2)} = \frac{\sqrt{\alpha^2 + \beta^2} \sin(\alpha L_1 - \theta) + \alpha \exp(-\beta L_1)}{\sqrt{\alpha^2 + \beta^2} \sin(\alpha L_2 - \theta) + \alpha \exp(-\beta L_2)} \qquad \exists \exists \exists \mathbf{q} = \tan^{-1}(\mathbf{a} / \mathbf{b})$$
 (5)

上式から計算した振動振幅の比と実測値とを比較して、固定境界条件の妥当性を確認することができる。

3.4 物理量の読み取り誤差 周波数 f の誤差、ロープ質量 M の誤差、ロープ長 L の誤差を勘案すると、曲げ剛性 EI および張力 T の誤差は次式で評価できる。

$$\left|\frac{\Delta(EI)}{EI}\right| = \left|\frac{\Delta G_1}{G_1}\right| + \left|\frac{\Delta M}{M}\right| + 3\left|\frac{\Delta L}{L}\right| = 2\left|\frac{\Delta f}{f}\right| + \left|\frac{\Delta M}{M}\right| + 3\left|\frac{\Delta L}{L}\right|, \quad \left|\frac{\Delta T}{T}\right| = \left|\frac{\Delta G_2}{G_2}\right| + \left|\frac{\Delta M}{M}\right| + \left|\frac{\Delta L}{L}\right| = 2\left|\frac{\Delta f}{f}\right| + \left|\frac{\Delta M}{M}\right| + \left|\frac{\Delta L}{L}\right|$$

- 4. まとめ 直径 16mm、長さ 3.8m の棒鋼と表 3 に示す 3 種類のロープを対象に、高次振動法を用いて張力を測定し、引張り試験機の値と比較した。結論を以下に列記する。
 - 1. 本手法によるケーブル張力算定誤差は、周波数分解能、線密度、長さから最大 1%と推定した。
 - 2. 本手法による張力算定値と引張り試験機の荷重とは 10< <111 の範囲で 1%以下となった。
 - 3. 振動振幅比の測定値は、(5)式に示した固定境界条件に近い値となった。

表 1 δ,の試算例

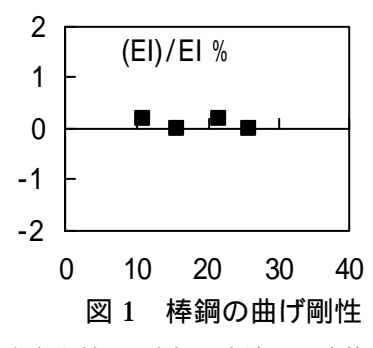
	i=1	i=2	i=3	i=4
=0	4.3E-2	1.9E-3	8.1E-5	3.5E-6
=1	3.7E-2	1.7E-3	7.7E-5	3.4E-6
=	1.2E-2	8.9E-4	4.8E-5	2.4E-6
=10	2.8E-5	7.4E-6	1.1E-6	1.1E-7

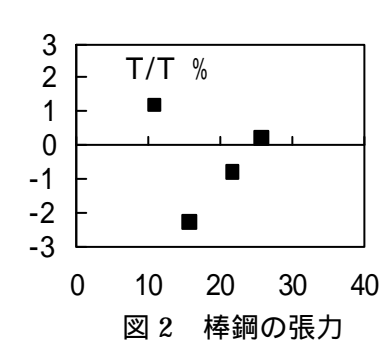
表 2 $2\delta_1/\pi i$ 試算例

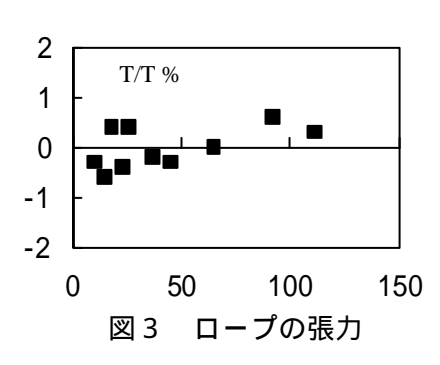
	i=1	i=2	i=3	i=4				
=0	2.7E-2	5.9E-4	1.7E-5	5.5E-7				
=1	2.4E-2	5.5E-4	1.6E-5	5.3E-7				
=	7.5E-3	2.8E-4	1.0E-5	3.8E-7				
=10	1.8E-5	2.4E-6	2.3E-7	1.7E-8				

表3 供試ロープの条件

外径 D	長さ L	張力 T kN	範囲	fs Hz	f Hz			
28.7 mm	2 m	100,202,301,497	10< 23	2000 Hz	0.12			
14.0 mm	2 m	48.8, 99.6, 148	26< <45	2000 Hz	0.12			
14.0 mm	5 m	49.6, 99.3, 145	65< <111	500 Hz	0.030			







参考文献 1)山極、宇津野、遠藤、杉井、構造工学論文集 Vol. 42A(1996.3), p.547-554 2)宇津野、山極、遠藤、杉井、構造工学論文集 Vol. 44A(1998.3), p.853-860